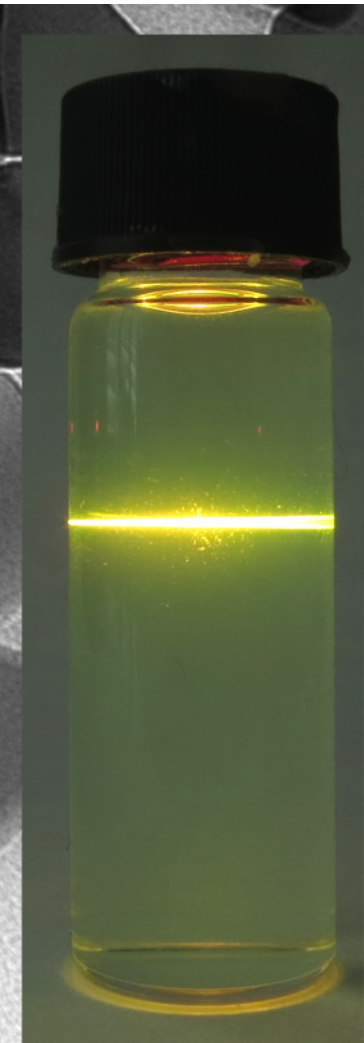


Příprava diskrétných biokonjugátů photon-upconversion nanočástic

LD15023 COST CZ MŠMT ČR

Antonín Hlaváček

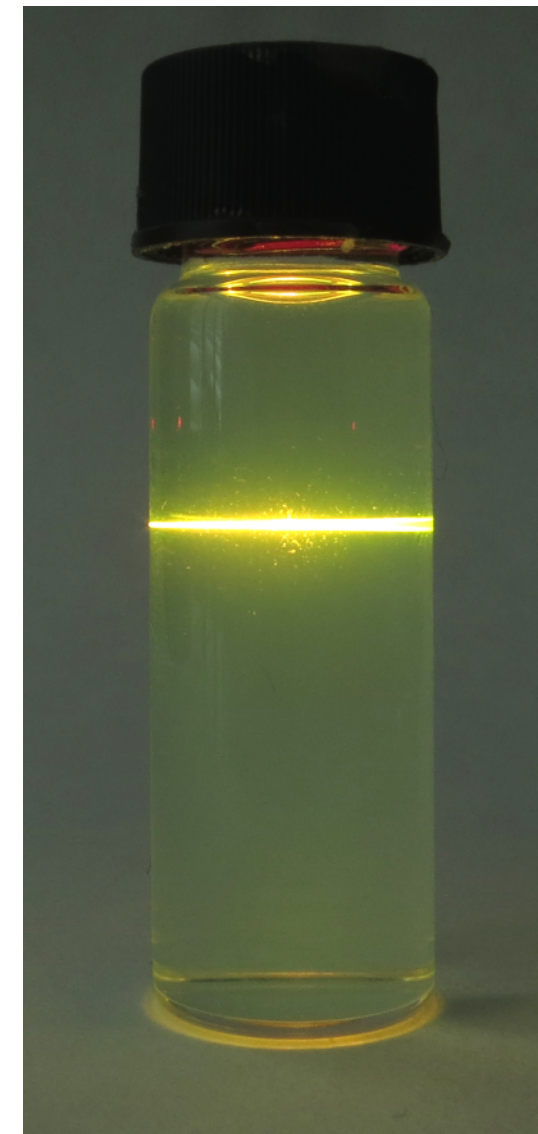
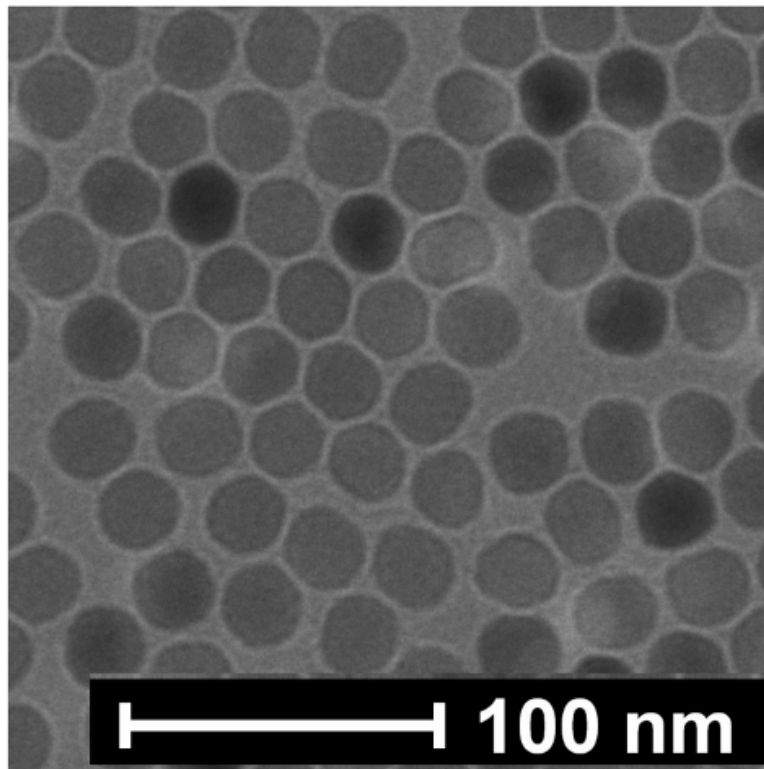
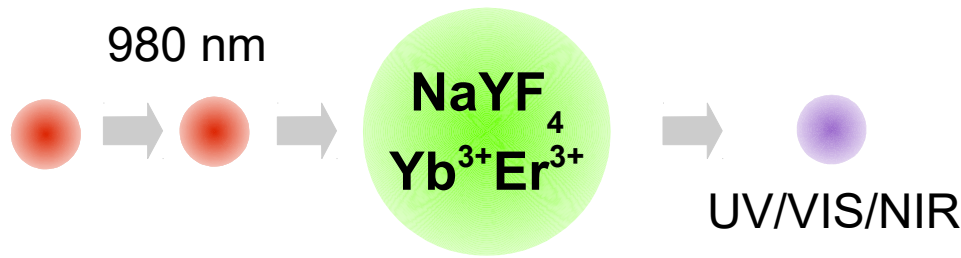
100 nm



Obsah

- Prezentace řešení
 - Foton up-konverzní nanočástice (UCNP)
 - Diskrétní biokonjugáty UCNP
 - Využití pro imunochemické detekce
- Oponentní posudky
- Zápis, podpisy..

Foton up-konverzní nanočástice



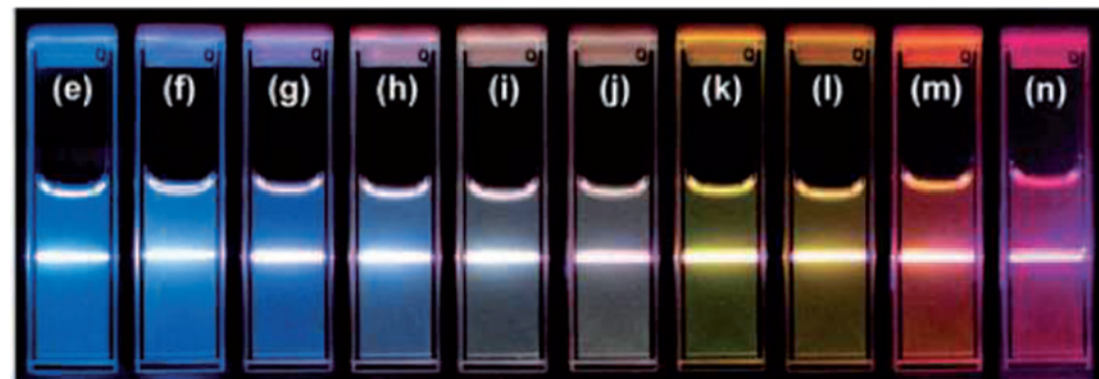
Foton up-konverzní nanočástice

YLiF₄:Yb,Tm
 NaYF₄:Yb,Er
 NaYF₄:Yb,Er
 NaYF₄:Yb,Er
 NaYF₄:Yb,Er
 NaYF₄:Yb,Er
 NaYF₄:Yb,Er
 NaYF₄:Yb,Tm
 NaGdF₄:Yb,Er
 NaGdF₄:Yb,Tm
 NaGdF₄
 NaLuF₄:Yb,Er
 NaLuF₄:Gd,Yb,Tm
 BaLuF₅
 KGdF₄:Yb,Tm
 KYb₂F₇:Er
 LiLuF₄:Yb,Er
 KMnF₃:Yb,Er
 YOF:Yb,Er
 CaF₂:Yb,Er
 YF₃:Yb,Er

1 H Hydrogen 1.0079	2 IIA 2A																							
3 Li Lithium 6.941	4 Be Beryllium 9.01218																							
11 Na Sodium 22.98978	12 Mg Magnesium 24.305	3 IIIB 3B	4 IVB 4B	5 VB 5B	6 VIB 6B	7 VIIIB 7B	8	9	VIII 8	10	11 IB 1B	12 IIB 2B	13 Al Aluminium 10.811	14 Si Silicon 28.0855	15 P Phosphorus 30.97376	16 S Sulfur 32.066	17 Cl Chlorine 35.4527	18 Ar Argon 39.948	2 He Helium 4.00260					
19 K Potassium 39.0983	20 Ca Calcium 40.078	21 Sc Scandium 44.95981	22 Ti Titanium 47.88	23 V Vanadium 50.9415	24 Cr Chromium 51.9961	25 Mn Manganese 54.938	26 Fe Iron 55.847	27 Co Cobalt 58.9332	28 Ni Nickel 58.9934	29 Cu Copper 63.546	30 Zn Zinc 65.39	31 Ga Gallium 69.732	32 Ge Germanium 72.64	33 As Arsenic 74.93219	34 Se Selenium 78.96	35 Br Bromine 79.954	36 Kr Krypton 83.80							
37 Rb Rubidium 85.4678	38 Sr Strontium 87.62	39 Y Yttrium 88.90685	40 Zr Zirconium 91.224	41 Nb Niobium 92.90538	42 Mo Molybdenum 95.94	43 Tc Technetium 98.9072	44 Ru Ruthenium 101.97	45 Rh Rhodium 102.9055	46 Pd Palladium 106.42	47 Ag Silver 107.8882	48 Cd Cadmium 112.411	49 In Indium 114.818	50 Sn Tin 118.71	51 Sb Antimony 121.760	52 Te Tellurium 126.80447	53 I Iodine 131.29	54 Xe Xenon 131.39							
55 Cs Cesium 132.90543	56 Ba Barium 137.327	57-71	72 Hf Hafnium 178.49	73 Ta Tantalum 180.9479	74 W Tungsten 183.85	75 Re Rhodium 185.207	76 Os Osmium 190.23	77 Ir Iridium 192.22	78 Pt Platinum 195.08	79 Au Gold 196.9665	80 Hg Mercury 200.59	81 Tl Thallium 204.3833	82 Pb Lead 207.2	83 Bi Bismuth 208.98037	84 Po Polonium 208.9824	85 At Astatine 209.8871	86 Rn Radon 222.0176							
87 Fr Francium 223.0197	88 Ra Radium 226.0254	89-103	104 Rf Rutherfordium [261]	105 Db Dubnium [262]	106 Sg Seaborgium [263]	107 Bh Bohrium [264]	108 Hs Hassium [265]	109 Mt Meltanium [266]	110 Ds Dermatisium [268]	111 Rg Roentgenium [272]	112 Cn Copernicum [277]	113 Uut Ununtrium unknown	114 Uup Ununquadium [289]	115 Uup Ununpentium unknown	116 Uuh Ununhexium [298]	117 Uus Ununseptium unknown	118 Uuo Ununoctium unknown							

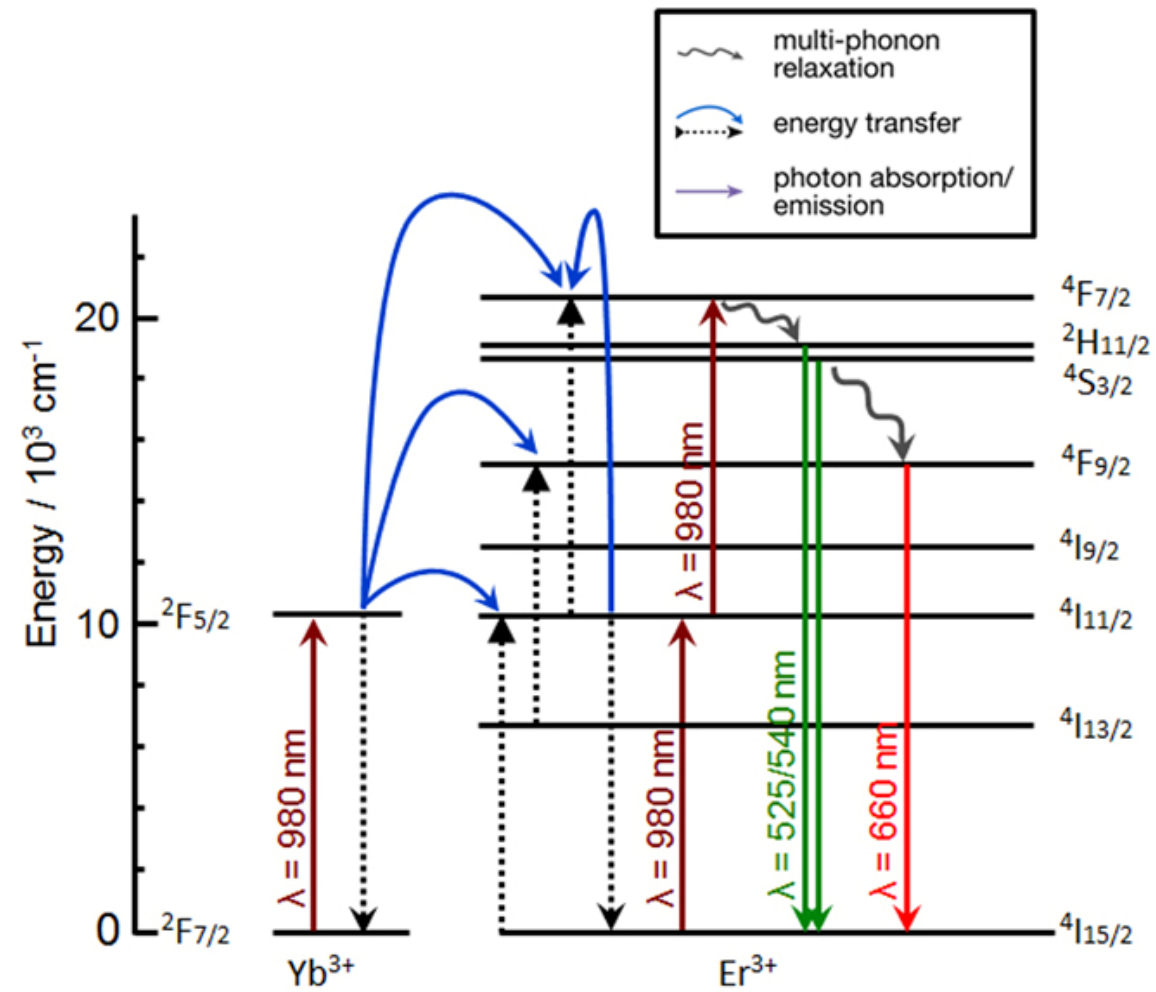
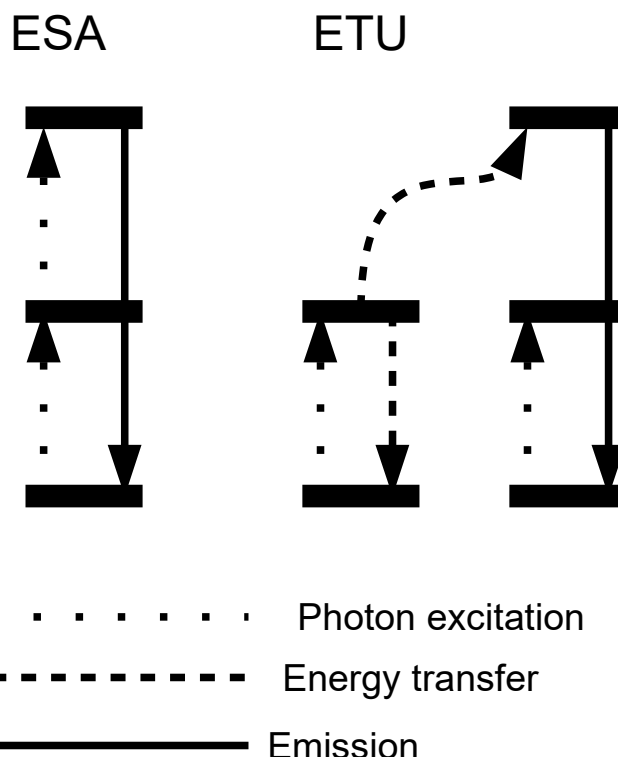
Lanthanide Series

Actinide Series



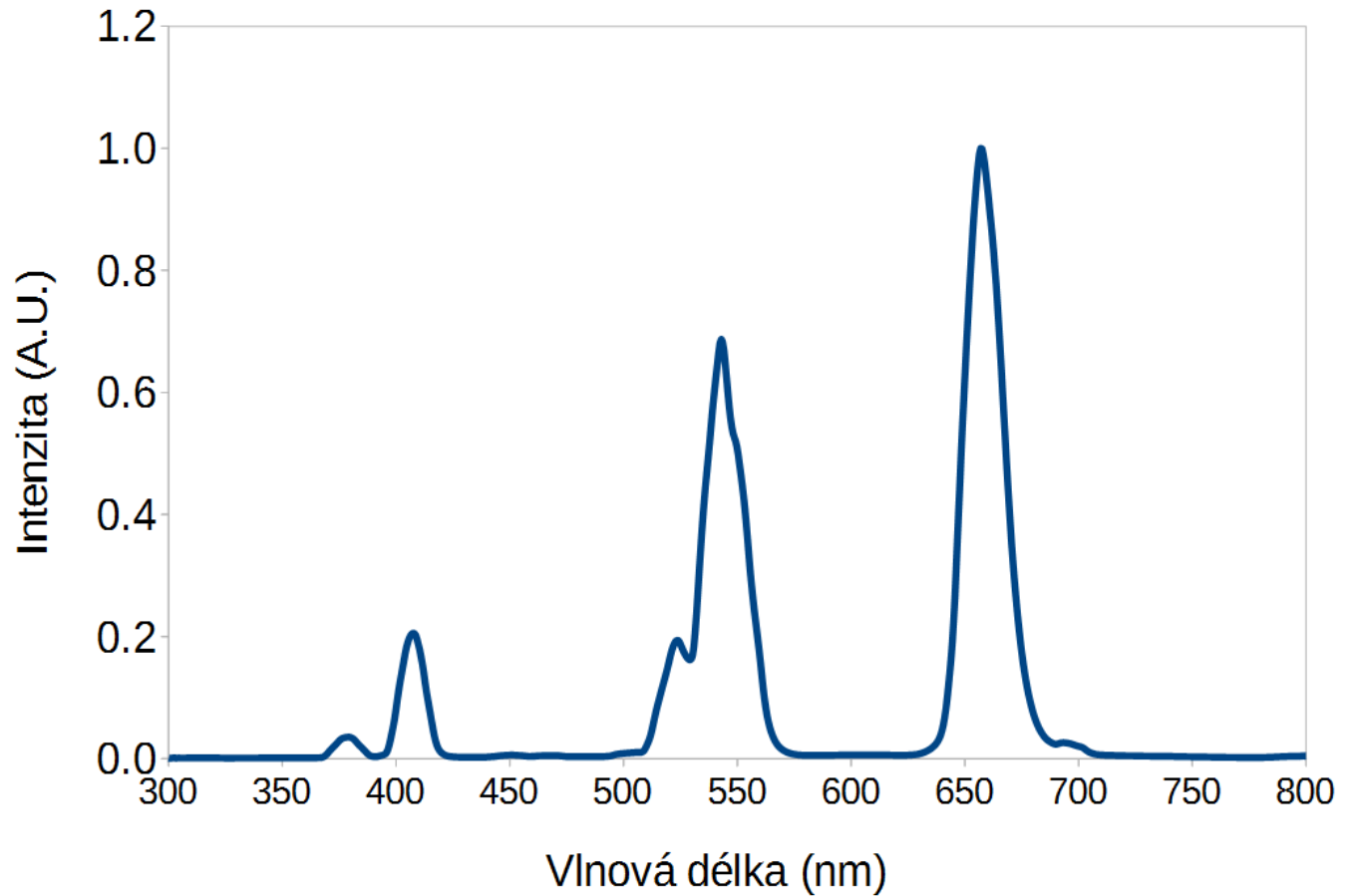
Mechanismus fotonové up-konverze

- ESA: excited-state absorption
- ETU: energy transfer upconversion

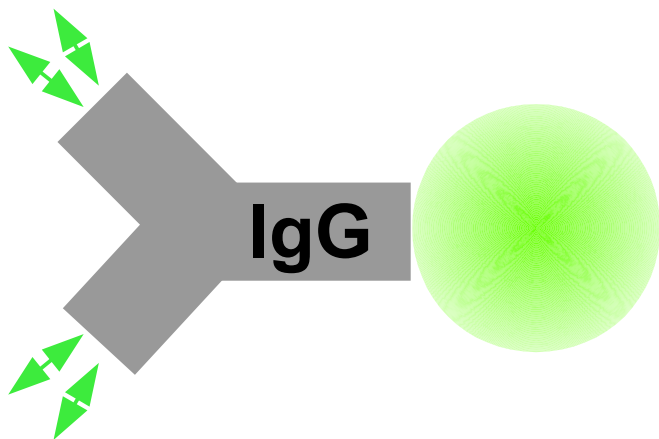


Energetické přechody v $\beta\text{-NaYF}_4$ nanokrystalech, které jsou dopované Yb^{3+} (sensitizer; obsah 20 %) a Er^{3+} (emitters; 2 %) ionty Gargas DJ, Chan EM, Ostrowski AD, Aloni S, Altoe MVP, Barnard ES, Sanii B, Urban JJ, Milliron DJ, Cohen BE, Schuck PJ (2014) Nature Nanotechnology, DOI: 10.1038/NNANO.2014.29

Mechanismus fotonové up-konverze

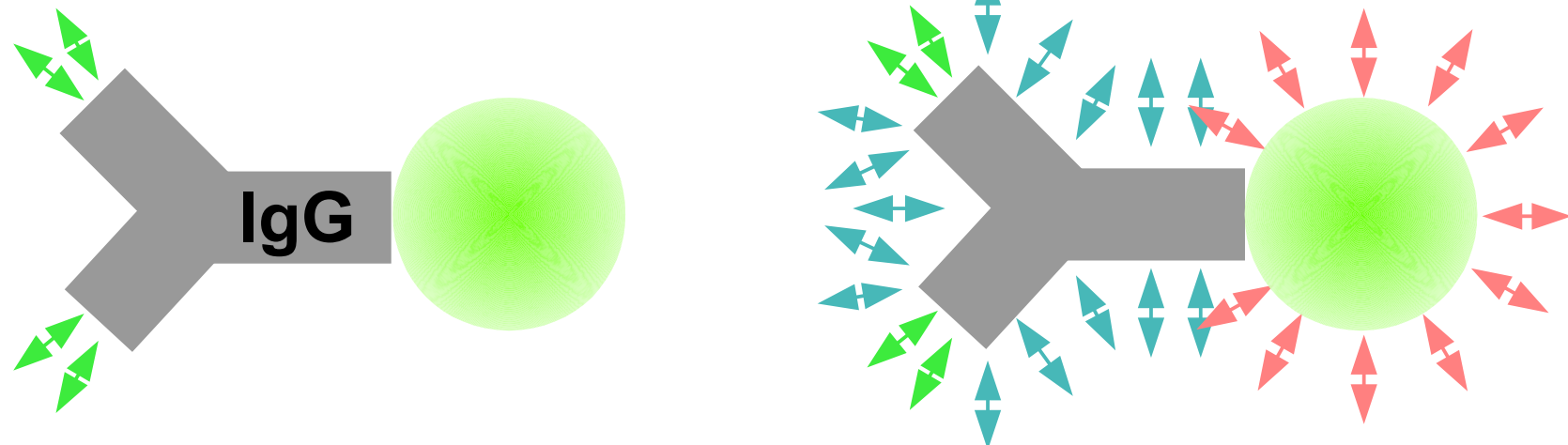


Biokonjugáty UCNP



↔ **Interactions**
Specific

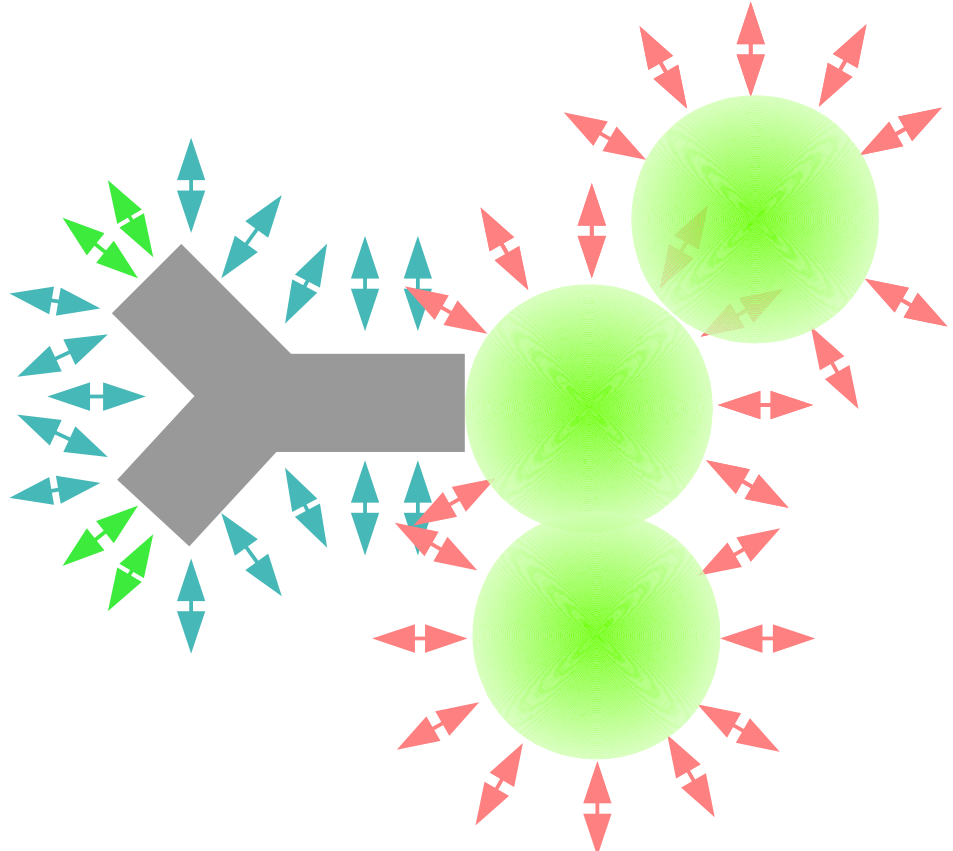
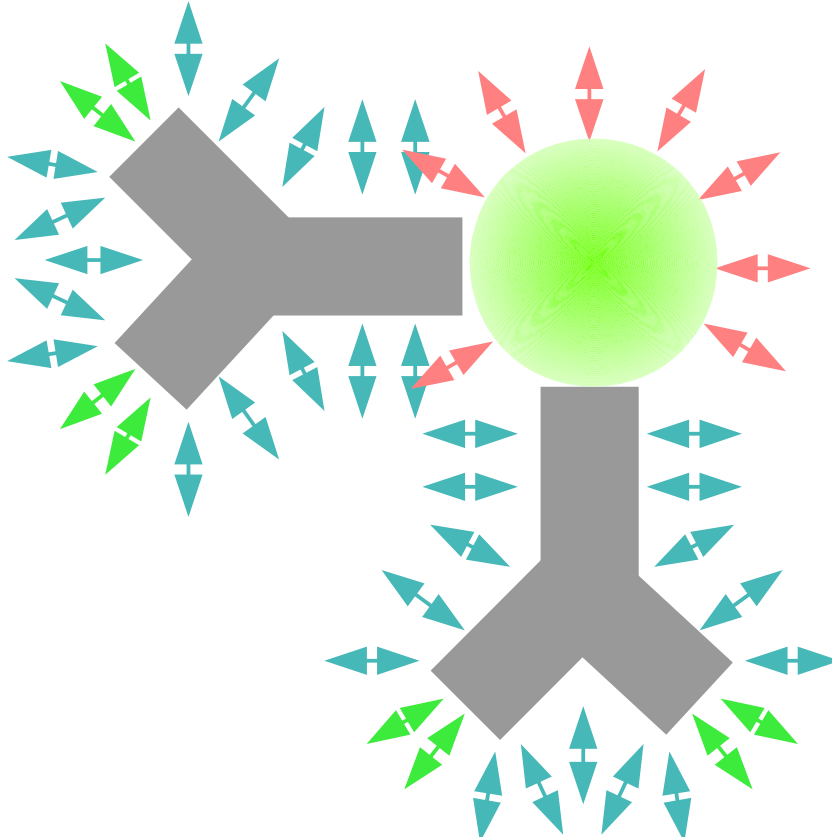
Biokonjugáty UCNP



Interactions

- ↔ Specific
- ↔ Biomolecule non-specific
- ↔ Nanoparticle non-specific

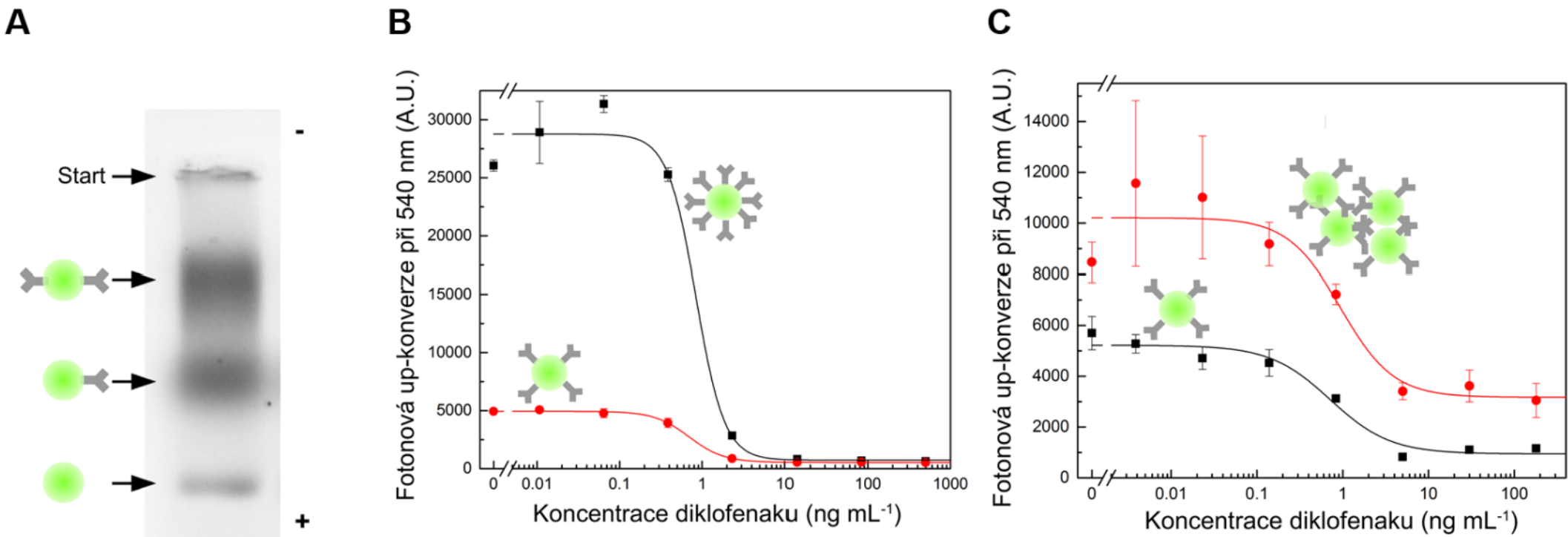
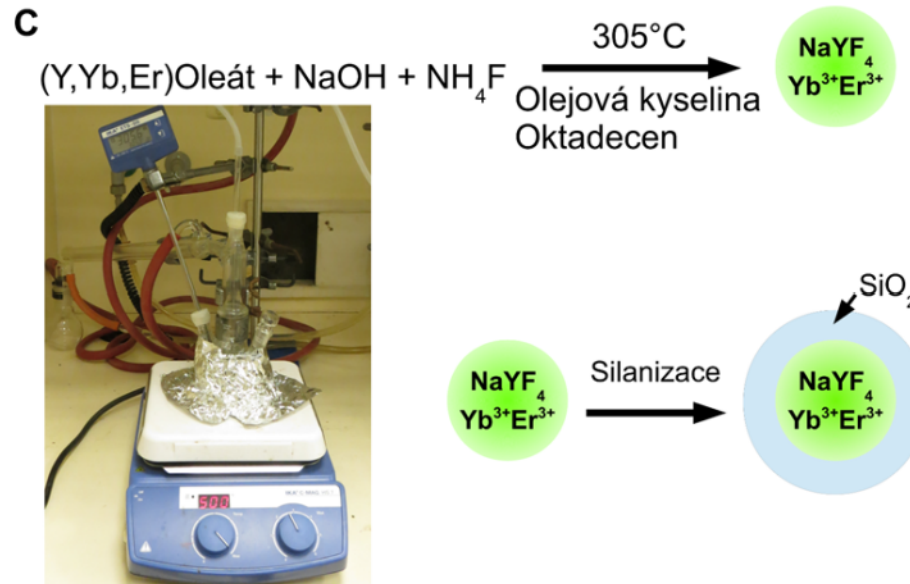
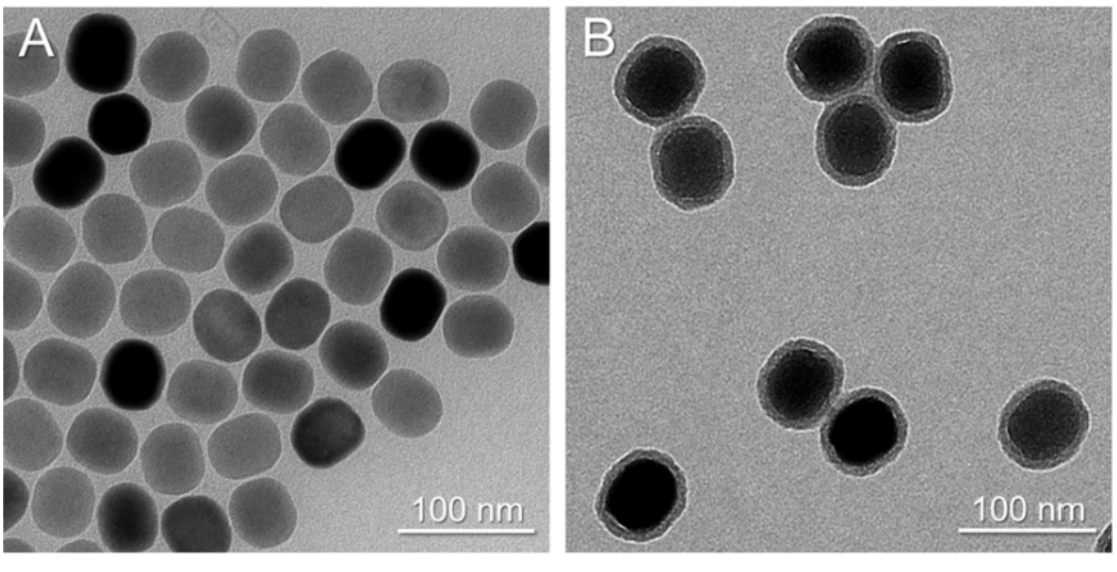
Biokonjugáty UCNP



Interactions

- ↔ Specific
- ↔ Biomolecule non-specific
- ↔ Nanoparticle non-specific

Syntéza

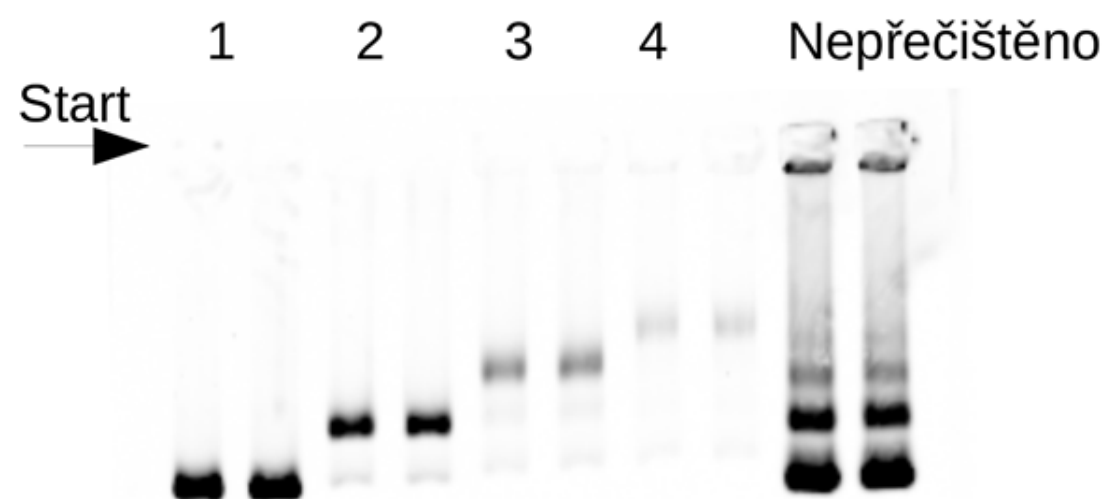


Purifikace

A

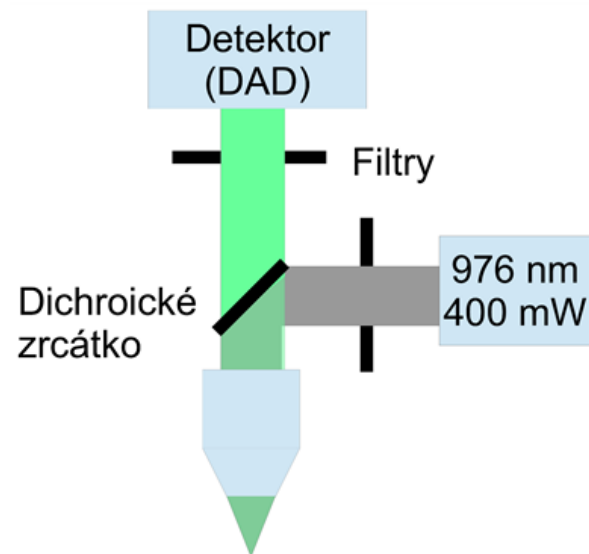


B

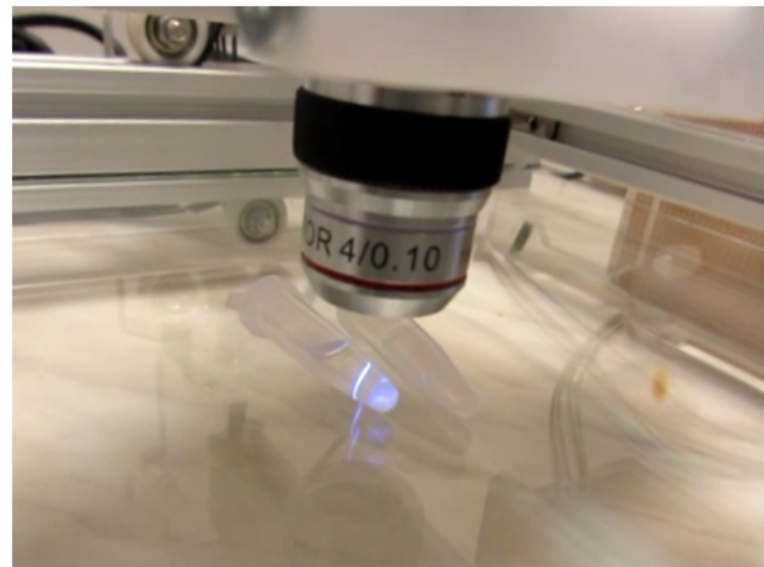


Purifikace

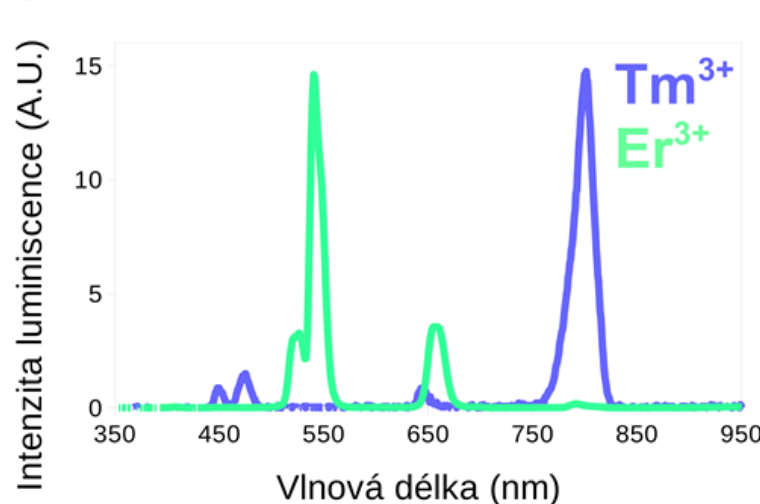
A



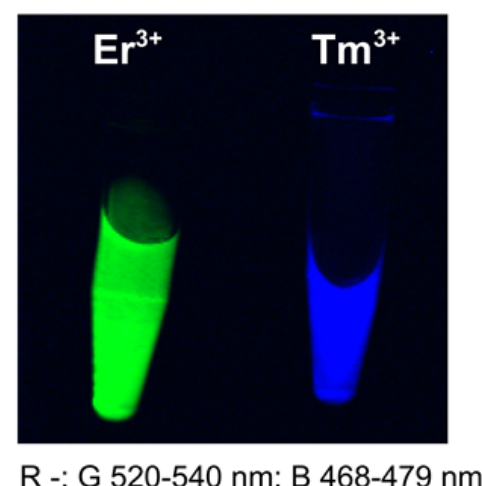
B



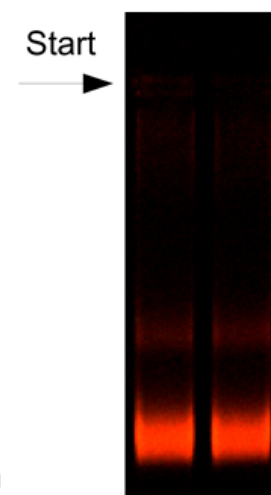
C



D

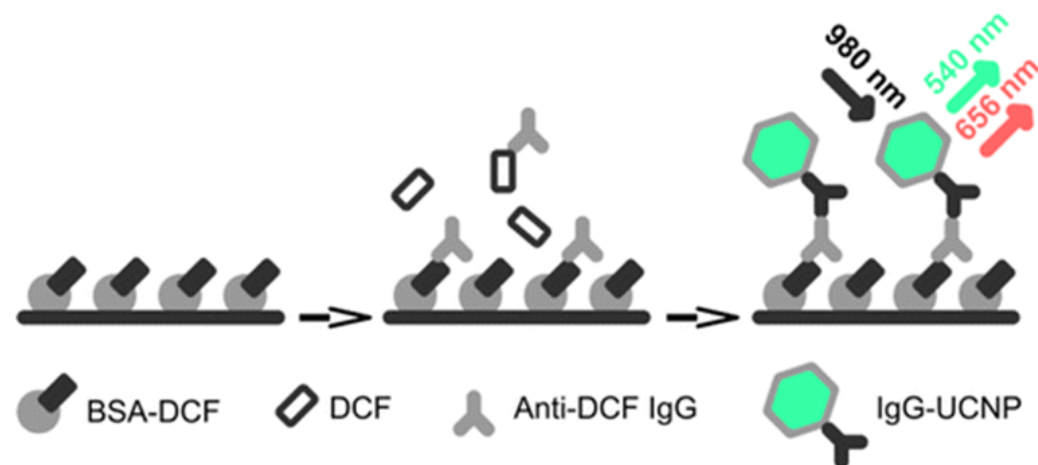
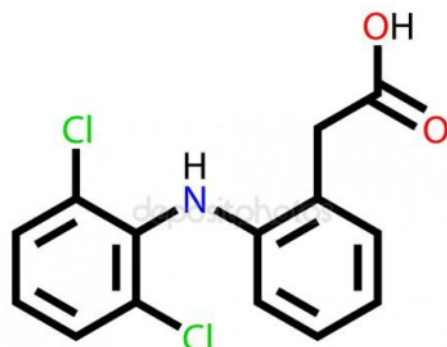


E



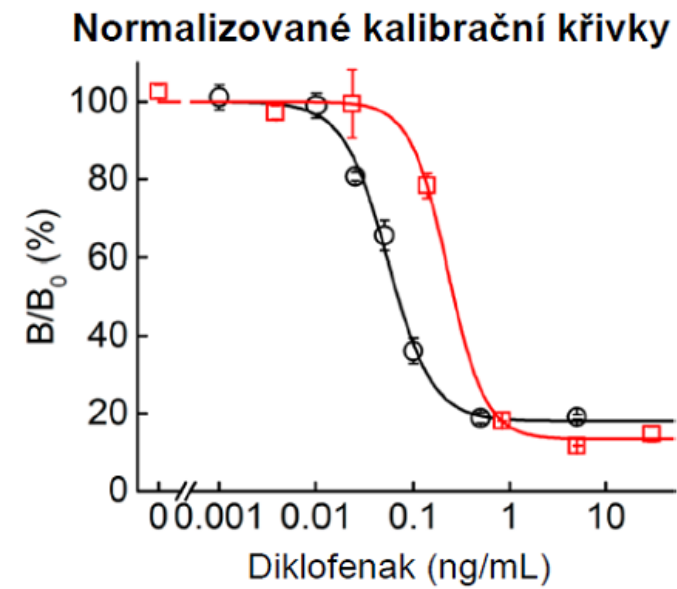
Využití-Imunochemické detekce

- Diklofenak



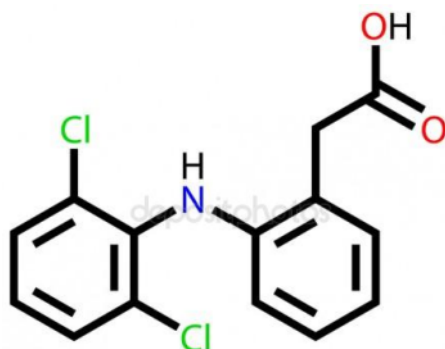
ULISA □
 IC_{50} 0.23 ng mL⁻¹
LOD 0.05 ng mL⁻¹

ELISA ○
 IC_{50} 0.05 ng mL⁻¹
LOD 0.01 ng mL⁻¹

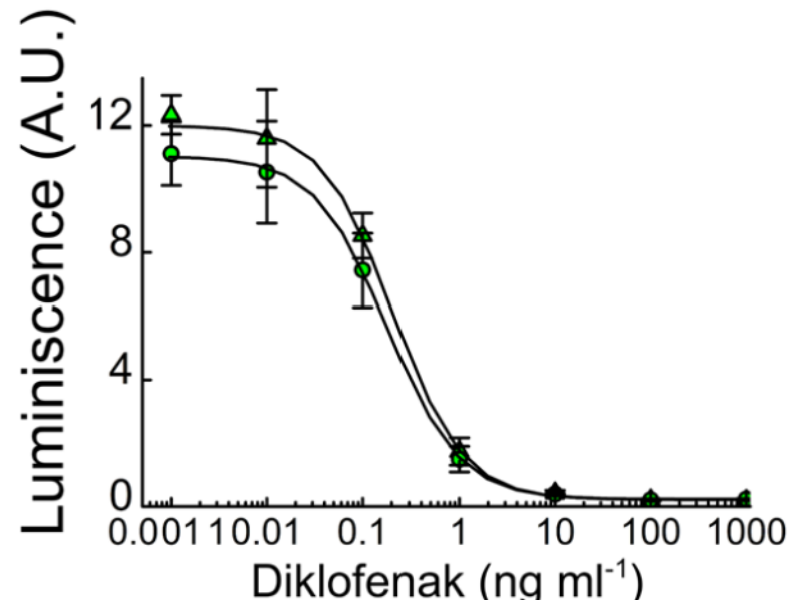
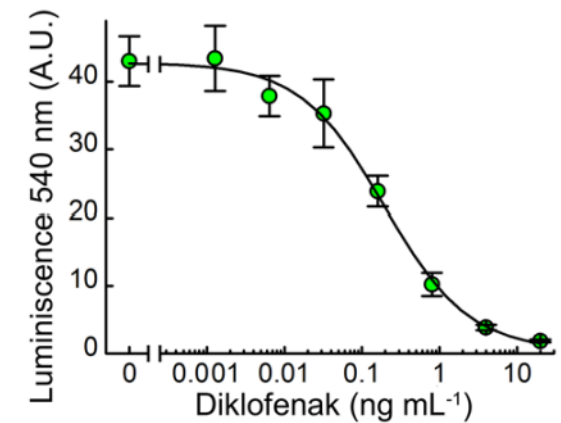
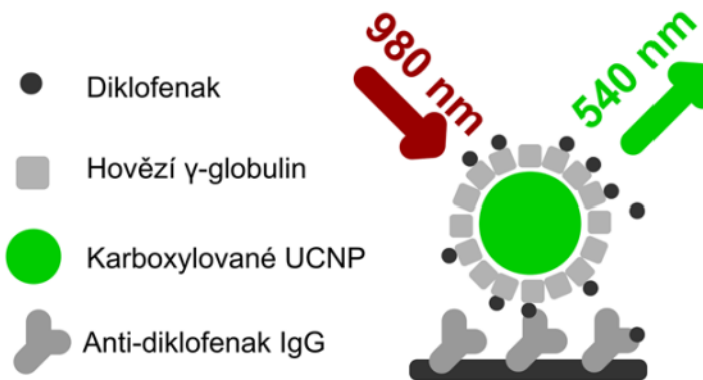


Využití-Imunochemické detekce

Diklofenak



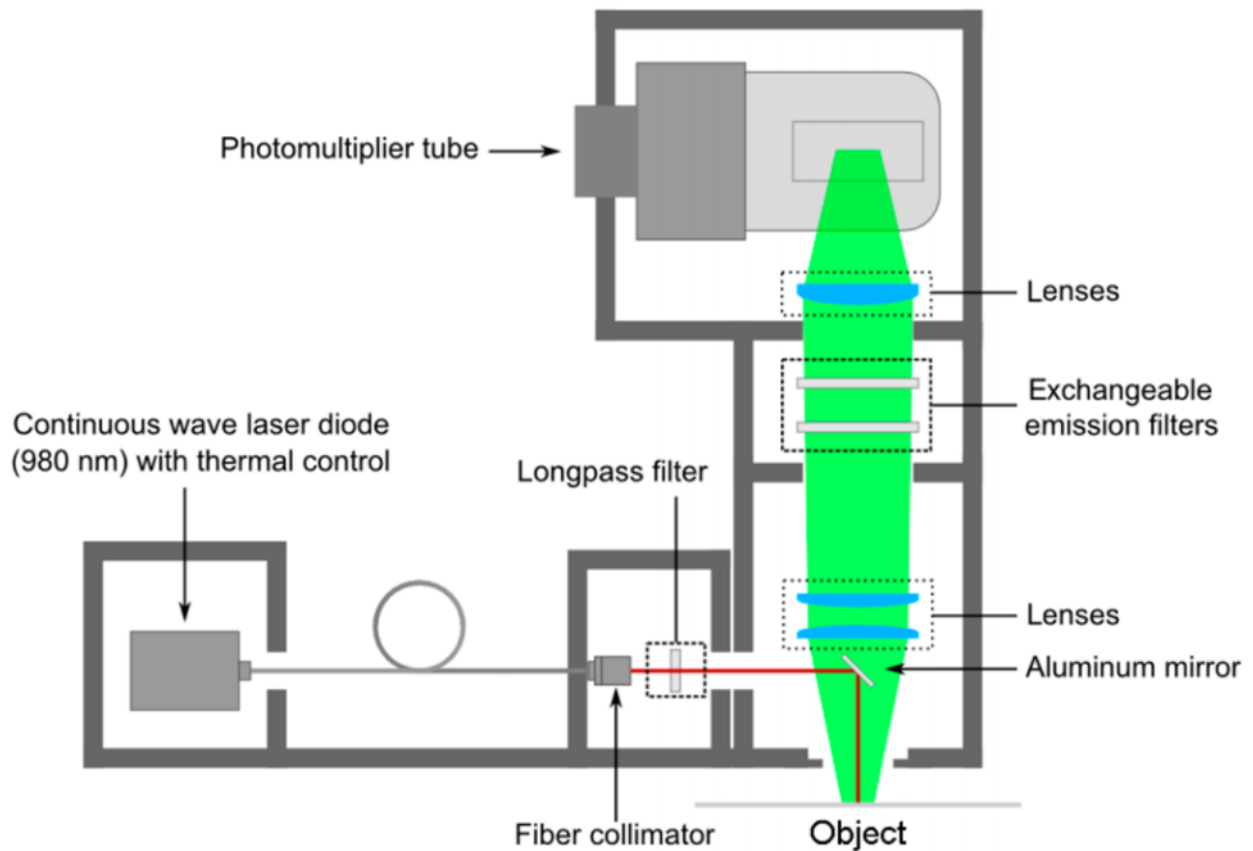
- Diklofenak
- Hovězí γ -globulin
- Karboxylované UCNP
- Anti-diklofenak IgG



Detekce UCNP na površích

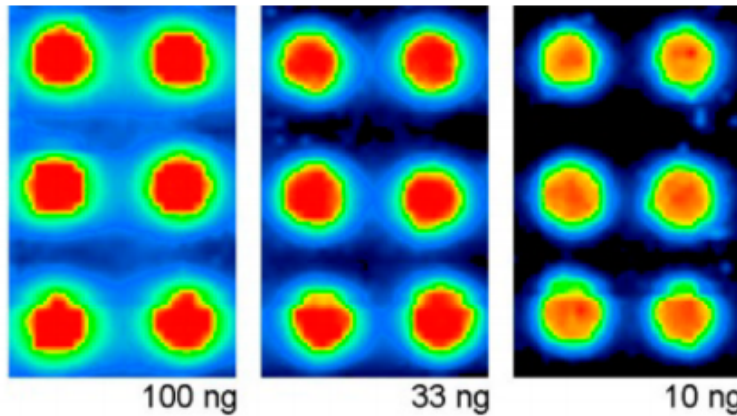
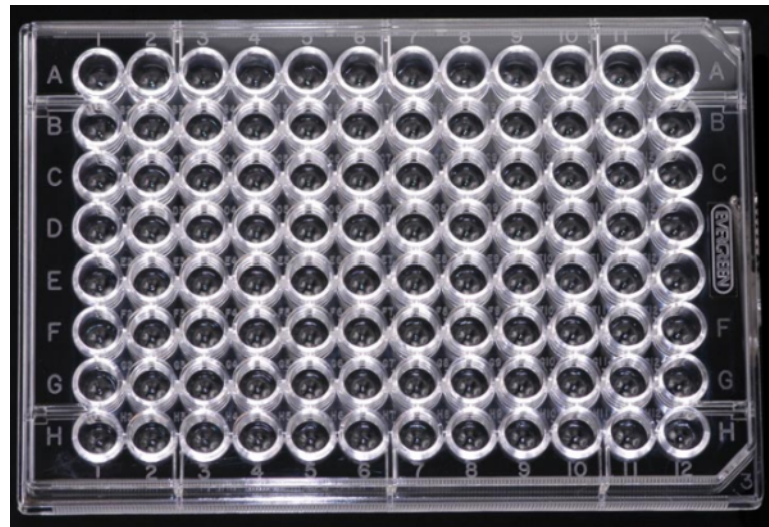


- Epifluorescenční mikroskop
 - Excitace 980 nm
 - Emise 535 nm
- Intensita excitačního záření 560 W/cm^2
- Fotonásobič



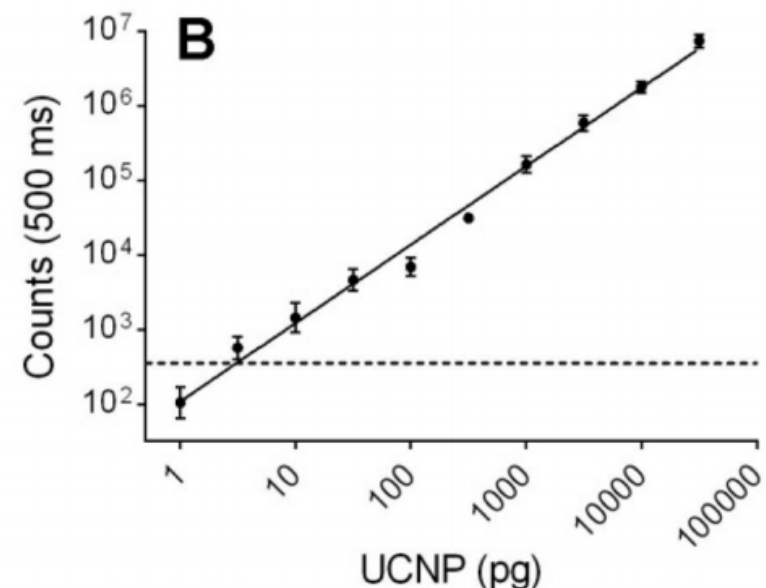
Sedlmeier, A., Hlaváček, A., Birner, L., Mickert, M.J., Muhr, V., Hirsch, T., Corstjens, P.L.A.M., Tanke, H.J., Soukka, T., Gorris, H.H. (2016) Analytical Chemistry, 88 (3), pp. 1835-1841

Detekce UCNP na površích



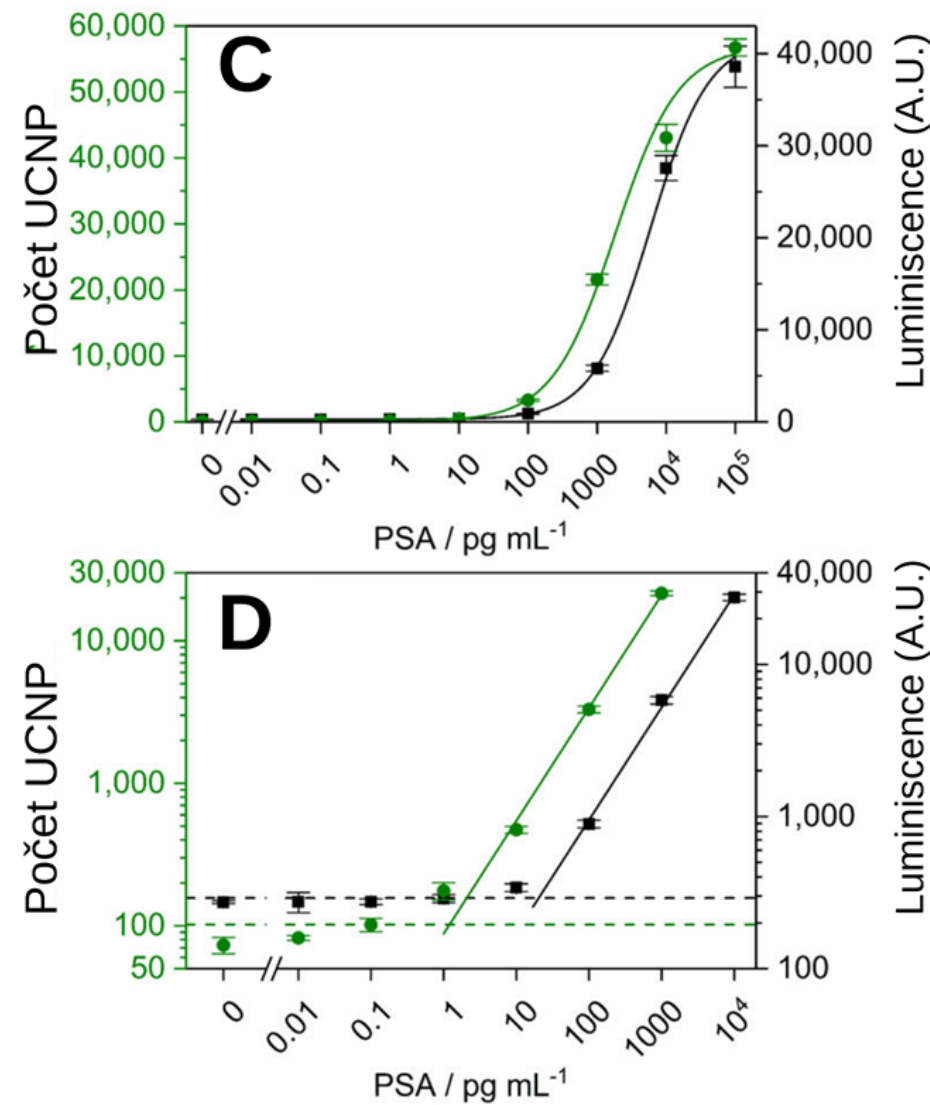
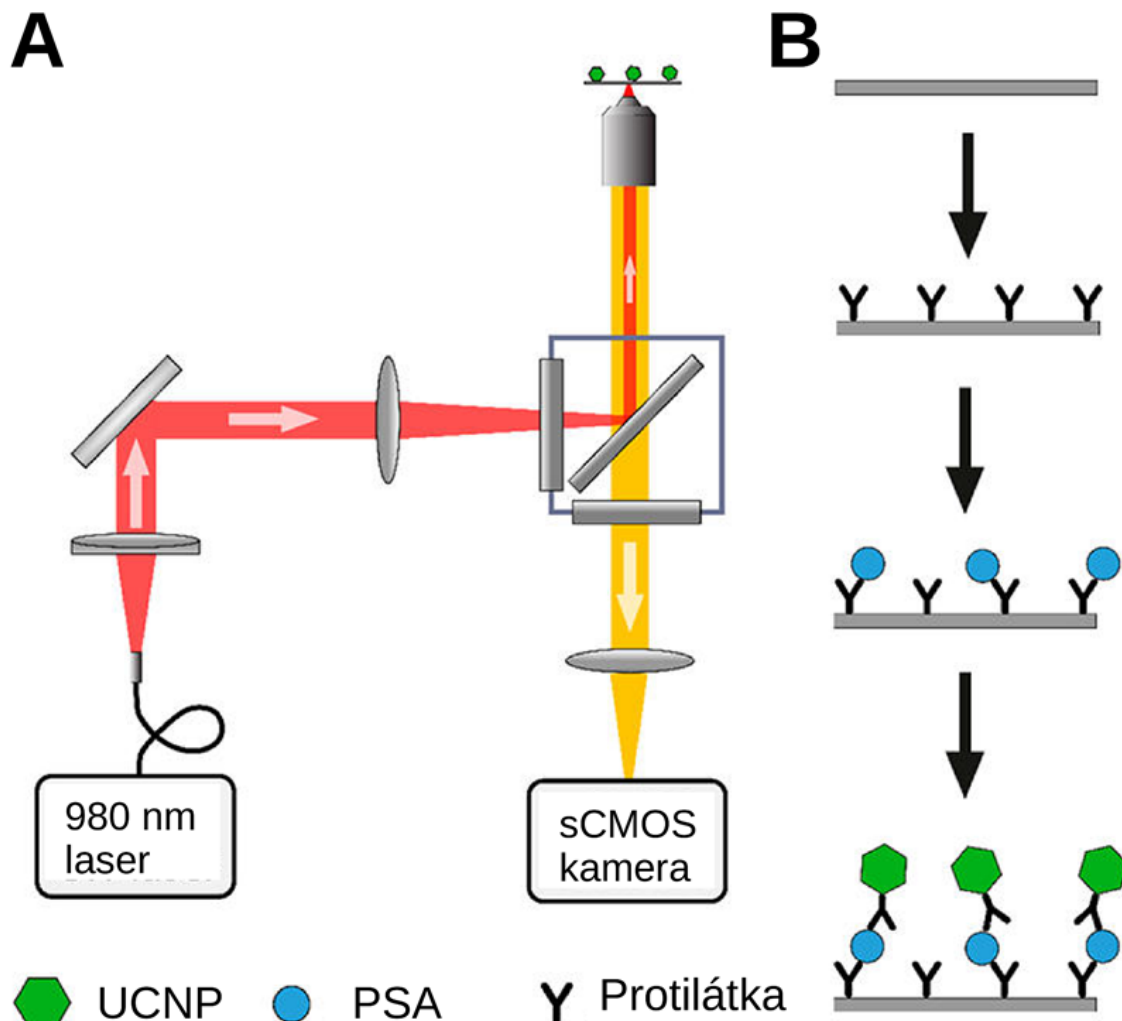
Sedlmeier, A., Hlaváček, A., Birner, L., Mickert, M.J., Muhr, V., Hirsch, T., Corstjens, P.L.A.M., Tanke, H.J., Soukka, T., Gorris, H.H. (2016) Analytical Chemistry, 88 (3), pp. 1835-1841

- Epifluorescenční mikroskop
 - Excitace 980 nm
 - Emise 535 nm
- Intensita excitačního záření
 560 W/cm^2
- Fotonásobič



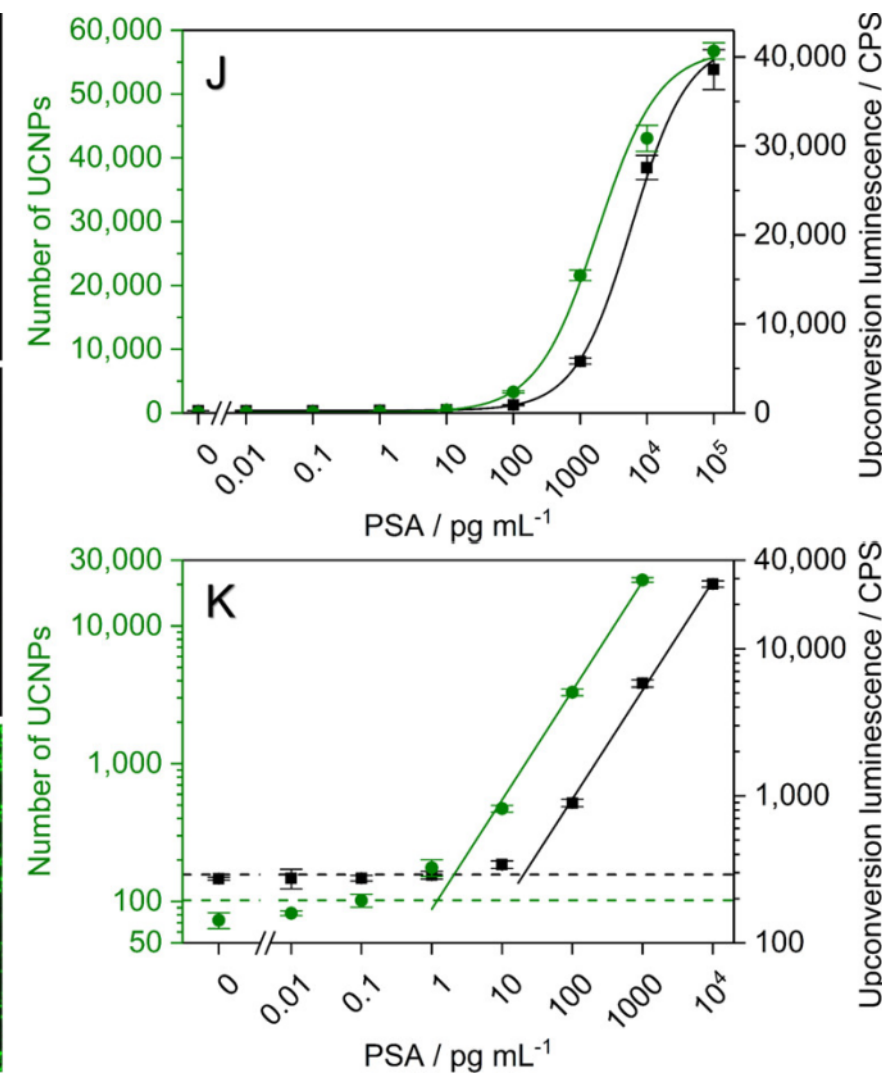
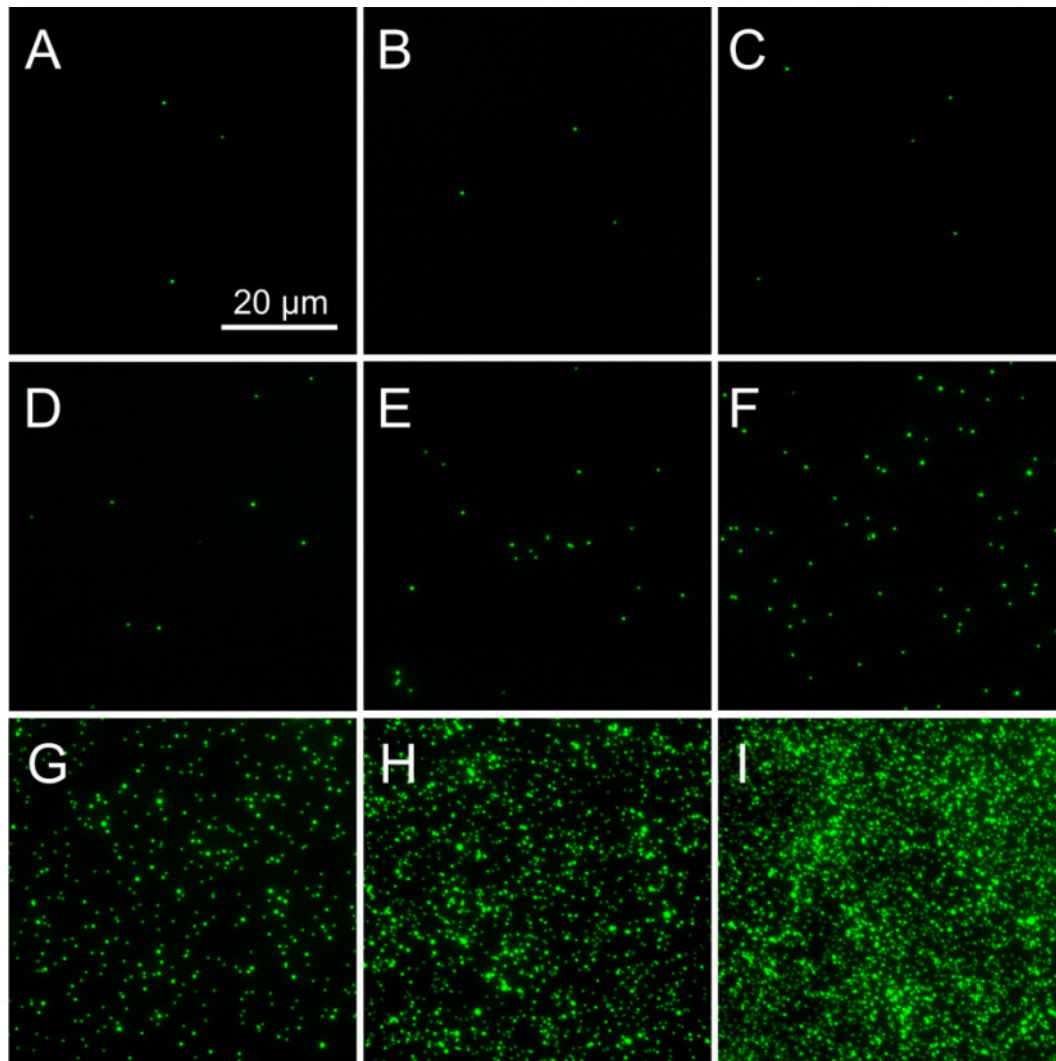
Využití-Digitální imunochemické detekce

- Prostate-specific antigen



Využití-Digitální imunochemické detekce

- Prostate-specific antigen



Závěr-výsledky

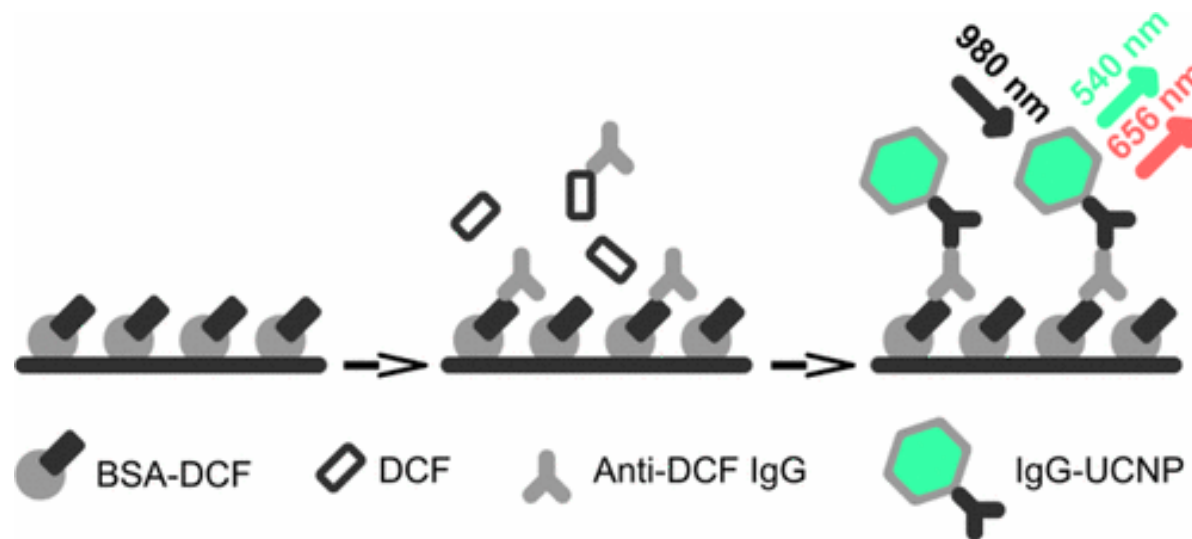
● 3x prezentace na konferencích

- Přednáška; Hlaváček, A., Přikryl, J., Foret, F.; ELECTROPHORETIC CHARACTERIZATION OF PHOTON UPCONVERTING NANOPARTICLES AND THEIR BIOCONJUGATES; UP-CON 2016, 1st Conference and Spring School on Properties, Design and Applications of Upconverting Nanomaterials, Wroclaw, Poland, 23-27 May 2016.
- Poster; Hlaváček, A., Farka, Z., Huebner, M., Horáková, H., Němeček, D., Skládal, P., Knopp, D., Gorris, H-H.; Determination of the Pharmaceutical Micropollutant Diclofenac in Fresh Water by Upconversion-Linked Immunosorbent Assay (ULISA), EUROPT(R)ODE XIII - Conference on Optical Chemical Sensors and Biosensors, Graz, Austria, 20-23 March 2016
- Poster; Hlaváček, A., Farka, Z., Mickert, M., Foret, F., Gorris, H. H.; Electrophoretic Purification Of Photon-Upconversion Nanoparticle Bioconjugates For A Single Molecule Upconversion-Linked Immunosorbent Assay; The 15th Conference on Methods and Applications in Fluorescence. Bruges, Belgium, 10-13 September, 2017

● 3x J-recenzovaný odborný článek

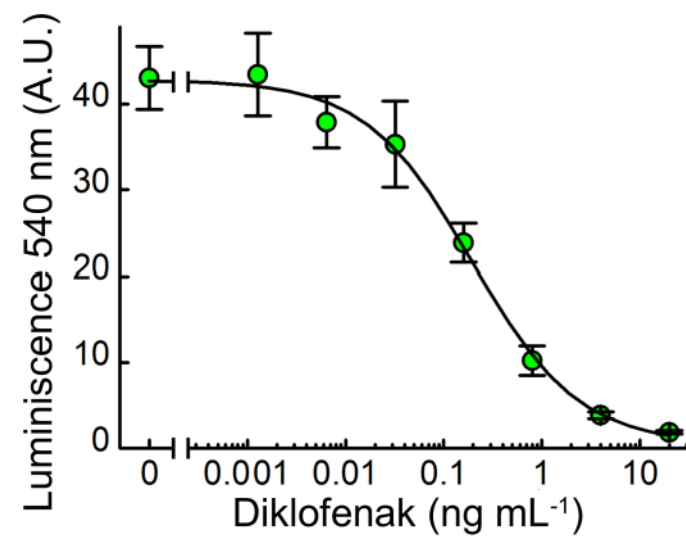
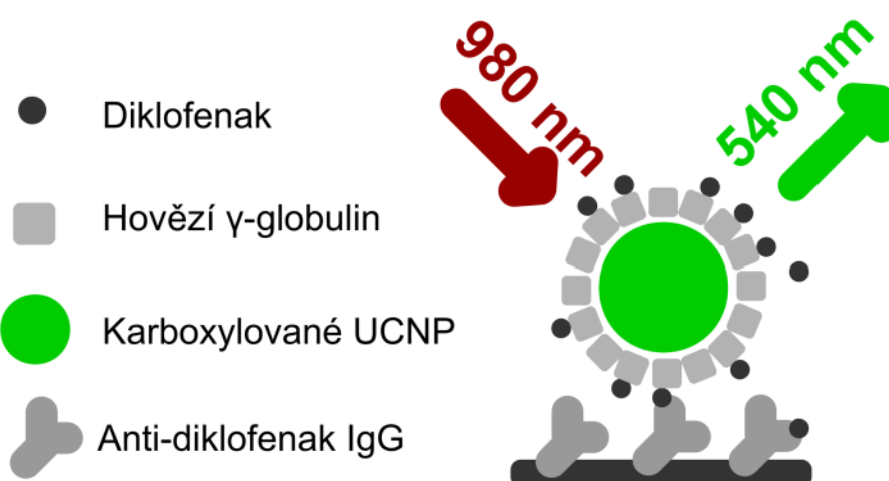
Závěr-výsledky

- Hlaváček, A., Farka, Z., Hübner, M., Horňáková, V., Němeček, D., Niessner, R., Skládal, P., Knopp, D., Gorris, H.H. Competitive Upconversion-Linked Immunosorbent Assay for the Sensitive Detection of Diclofenac (2016) *Analytical Chemistry*, 88 (11), 6011-6017; **IF₂₀₁₆ 6,320**



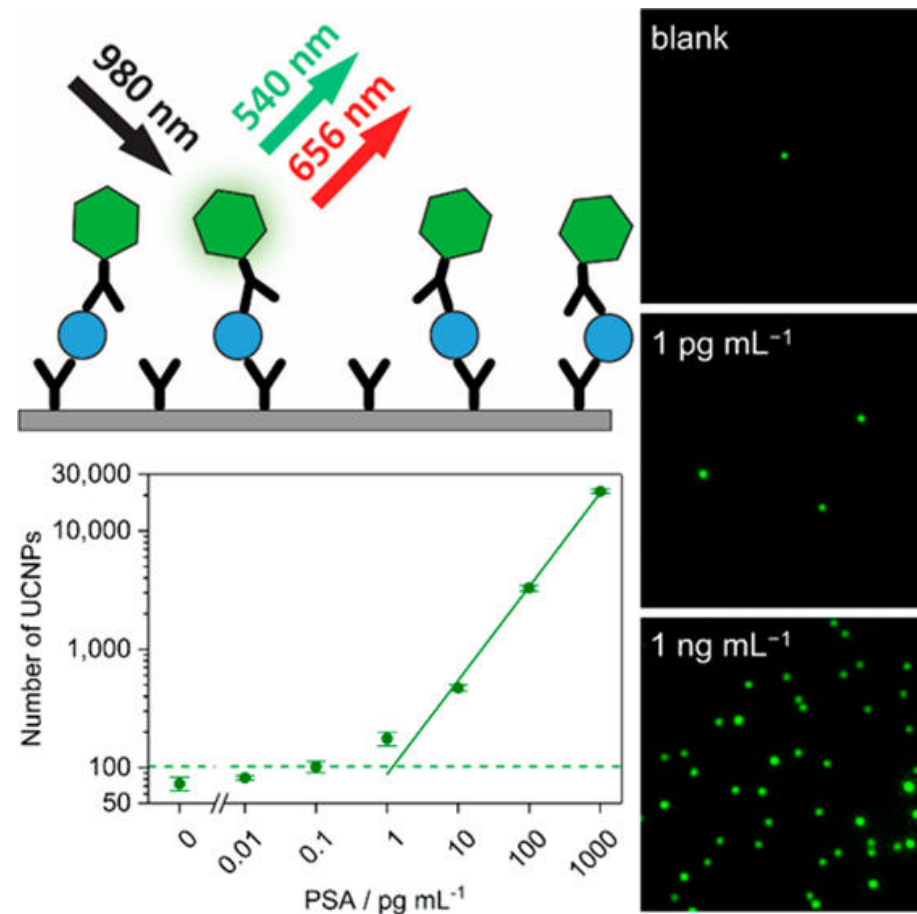
Závěr-výsledky

- Hlaváček, A., Peterek, M., Farka, Z., Mickert, M.J., Prechtl, L., Knopp, D., Gorris, H.H. Rapid single-step upconversion-linked immunosorbent assay for diclofenac (2017) *Microchimica Acta*, 184 (10), pp. 4159-4165; **IF₂₀₁₆ 4,580**



Závěr-výsledky

- Farka, Z., Mickert, M.J., Hlaváček, A., Skládal, P., Gorris, H.H. Single molecule upconversion-linked immunosorbent assay with extended dynamic range for the sensitive detection of diagnostic biomarkers (2017) *Analytical Chemistry*, 89 (21) 11825–11830; **IF₂₀₁₆ 6,320**



Děkuji za pozornost